

محیط رسوبی بخش بالایی سازند دالان بر روی کمان قطر- فارس و حاشیه شرقی آن: میادین پارس جنوبی و سلمان

مریم فتوت، دانشجوی کارشناسی ارشد، دانشگاه تربیت معلم

غزل هاشمی حسینی، دانشجوی کارشناسی ارشد، دانشگاه تهران*

حسین رحیم‌پور بناب، استاد، گروه زمین‌شناسی دانشگاه تهران

چکیده

مخزن هیدرولیکی پرمین- تریاکس سازندهای دالان- کنگان (همارز سازند خوف) میزبان اصلی مخازن گاز طبیعی در خلیج فارس هستند. هدف از این مطالعه بررسی تغییرات رخساره‌ها در بخش دالان بالایی در میادین پارس جنوبی و سلمان است. برای بازسازی بهتر توزیع چینه‌نگاری و فضایی رخساره‌ها دو چاه انتخاب شد. آنالیز رخساره‌ها در چاه‌های مطالعه شده نشان می‌دهد که توالی رسوبی شامل سنگ آهک، دولومیت و تبخیری است که در نواحی داخلی تا ابتدای بخش‌های میانی یک رمپ کربناته هموکلینال نهشته شده‌اند. مطالعه پتروگرافی مقاطع نازک منجر به شناسایی ۱۵ میکروفاسیس و در نهایت ۴ محیط مجزا شامل ۱- سوپراتایdal (سبخا)، ۲- لاغون، ۳- پشته‌های زیرآبی سدی و ۴- دریایی باز شده است. این بررسی نشان می‌دهد که رخساره‌ها در میدان سلمان در یک محیط کم عمقتر نسبت به پارس جنوبی نهشته شده‌اند. بازسازی جغرافیای دیرینه پلیت عربی نشان می‌دهد که میدان سلمان و میادین مجاور آن حاصل تکتونیسم و بالا آمدگی نمک هستند. بنابراین تشکیل رخساره‌های کم عمق تر در این میدان (نسبت به پارس جنوبی) ممکن است در ارتباط با این مسئله باشد.

واژه‌های کلیدی: دالان بالایی، میکروفاسیس، محیط رسوبی، پارس جنوبی، سلمان، کمان قطر- فارس

طاقدیس گبده بسته با ابعادی در حدود 16×15 کیلومتر

می‌باشد که یال‌هایی ملایم با شیب ۳ تا ۷ درجه دارد. تولید ذخایر هیدروکربنی خصوصاً گاز در این دو میدان و دیگر میدادین حوضه خلیج فارس از سازند دلان (پرمین بالایی) و سازند کنگان (تریاس زیرین) و معادل آن سازند خوف، صورت می‌گیرد (Szabo and Kheradpir 1978).



شکل ۱- موقعیت میدادین پارس جنوبی و سلمان در خلیج فارس (Aali et al. 2005)

پائیزوژئوگرافی و حوضه رسوبی

حوضه خلیج فارس و نواحی مجاور آن از زمان پرتوزوئیک تحت تأثیر گسل‌های پی‌سنگ با سه روند اصلی NE-SW، NW-SE و N-S قرار داشته است (Edgell 1996).

مقدمه

صفحه عربی یک حوضه عظیم رسوبی است که حوضه‌های خلیج فارس، غرب و جنوب رشته کوه‌های زاگرس، شبه‌جزیره عربستان، عراق، اردن، سوریه و بخش جنوبی ترکیه را شامل می‌گردد (Konert et al. 2001).

خلیج فارس در حاشیه شرقی صفحه عربی بین عرض‌های جغرافیایی ۲۰ تا ۳۰ درجه شمالی و طول جغرافیایی ۴۸ تا ۵۷ درجه شرقی واقع شده است. میدادین هیدروکربوری زیادی با سنگ‌شناسی کربناته در حوضه خلیج فارس کشف شده است که از آن جمله میدان عظیم گازی پارس جنوبی در بخش شمالی گند پارس جنوبی - گند شمالی و میدان سلمان در بخش‌های مرکزی خلیج فارس تا شرق کمان قطر فارس می‌باشند (شکل ۱).

میدان پارس جنوبی در موقعیت ۵۲/۵ تا ۵۲/۵ درجه شرقی و ۲۶/۵ تا ۲۷ درجه شمالی در حدود ۱۰۰ کیلومتری بندر عسلویه، ۱۷۵ کیلومتری کیش و ۱۰۵ کیلومتری سواحل قصر واقع شده است. وسعت این میدان بیش از ۶۰۰۰ کیلومترمربع و دارای طول تقریبی ۱۵۰ و عرض تقریبی ۷۰ کیلومتر است (Kashfi 1992). ساختمان زمین‌شناسی میدان پارس جنوبی که بخش شمالی گند پارس جنوبی - گند شمالی را تشکیل می‌دهد، دارای یال‌های ملایم بوده که خود تشکیل‌دهنده یکی از چند قله ساختمانی برآمدگی قطر - فارس بر روی پلاتفرم کربناته منطقه است. (Konert et al. 2001; Alsharhan and Nairn 1997; Zeigler 2001)

میدان سلمان در بخش مرکزی خلیج فارس در شرق میدان گازی پارس جنوبی و در فاصله ۴۰ کیلومتری آن قرار دارد. این میدان در حد فاصل $۱۴^{\circ} ۵۳' ۰$ تا $۲۰^{\circ} ۵۳'$ طول شرقی و $۲۷^{\circ} ۲۵'$ تا $۳۸^{\circ} ۲۵'$ عرض شمالی در مرز مشترک ایران و امارات متحده عربی با میدان ابوالبوخوش در ابوظبی مشترک است. میدان سلمان به صورت یک

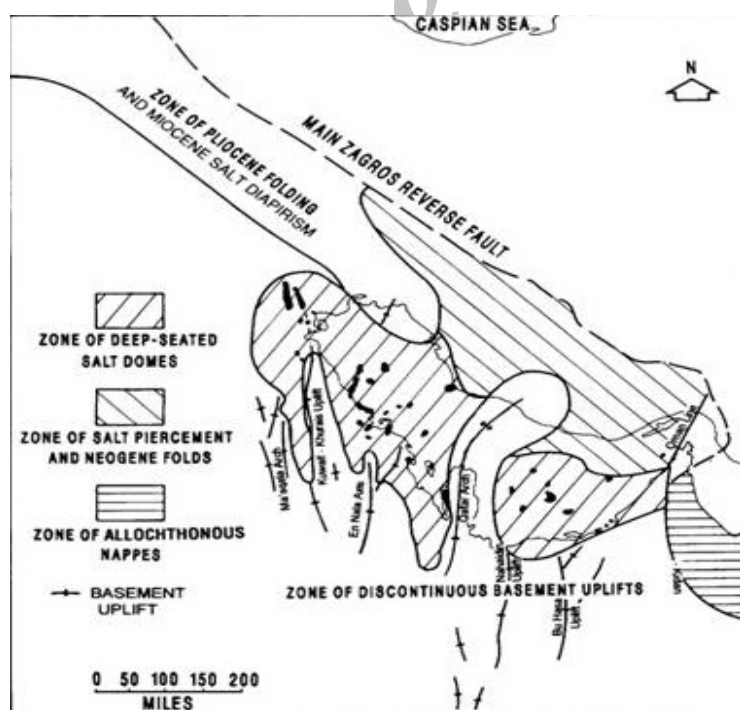
متفاوتی داشته‌اند (Alsharhan and Nairn 1997). ضخامت رسوبات در زیرحوضه غربی ۶/۷ کیلومتر و در زیرحوضه شرقی ۵/۲ کیلومتر و بر روی کمان قطر حدود ۴ کیلومتر است که این ضخامت نسبی رسوبات در مقایسه با نواحی اطراف (ضخامت ۱۴-۷ کیلومتری رسوبات در کمربند چین خورده زاگرس) نشان می‌دهد که این بخش در بیشتر دوران پالئوزوئیک یک بالاً‌آمدگی ساختاری بوده است (Esrafilii-Dizaji and Rahimpour-Bonab 2009).

هیچ شواهدی از رسوب‌گذاری سری هرمز بر روی بالاً‌آمدگی‌های قدیمی مانند کمان قطر-فارس و بالاً‌آمدگی‌های مجاور آن دیده نشده، اما این رسوبات در بین این بالاً‌آمدگی‌ها وجود دارد (Edgell 1990).

رونده شمالی- جنوبی که قدیمی‌ترین روند ساختاری است در برخی از بالاً‌آمدگی‌های پی‌سنگ مانند کمان قطر- فارس، کمان En- Nala و کمان Hail- Rutbah که مکرراً جوان شده‌اند، دیده می‌شود (Edgell 1990).

کمان قطر با تقریباً ۵۰۰ کیلومتر مربع وسعت و روند شمال شمال‌شرق- جنوب‌غرب یکی از مهمترین ساختارهای تکتونیکی بالاً‌آمده بر روی پلیت عربی است که از روند گسلی شمالی- جنوبی تبعیت کرده و حوضه خلیج فارس را به دو زیر‌حوضه شرقی و غربی تقسیم کرده است (شکل ۲). این کمان به میزان زیادی ساختمان و رسوب‌گذاری را در این ناحیه از زمان پالئوزوئیک تحت تأثیر قرار داده است (Al-Husseini 2000; Konert et al. 2001; Ziegler 2001).

این زیر‌حوضه‌ها در طی فانروزوئیک نرخ‌های فرورانش و تاریخچه رسوب‌گذاری



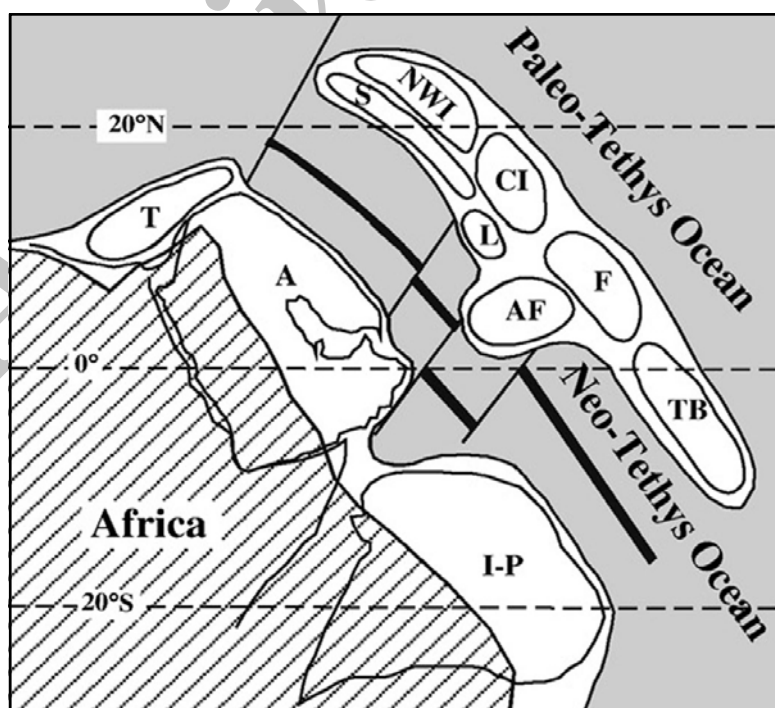
شکل ۲- گسترش حوضه نمکی پر کامبرین در خلیج فارس (Edgell 1996)

زمان پرمن میانی به بعد بوده است (Pillevuite 1993; Sharland et al. 2001). البته برخی معتقدند که گسترش نئوتیس از زمان پرمن پیشین آغاز گردیده است (Angiolini et al. 2003). با شروع پرمن پیشین بخش‌های بالایی قاره گندوانا از بلوک اصلی جدا شده و به طرف شمال حرکت کرده است. این بلوک حداقل دارای هفت خرده پلیت شامل ایران مرکزی (CI)، ستندج-سیرجان (S)، لوت (L)، ترکیه (T)، تبت (TB)، افغانستان (AF) و خرده پلیت عربی (A) بوده است (Sharland et al. 2001; Heydari 2008). بدین وسیله اقیانوس نئوتیس گسترش یافته است. این واقعه تکتونیکی موجب تشکیل سیستم هورست و گرابن در نزدیکی حاشیه شمال شرقی ناحیه زاگرس شده است (Ziegler 2001; Weidlich and Bernecker 2003) (شکل ۳).

دیاپیریسم نمک یک عنصر ساختمانی مهم در حوضه خلیج فارس است که موجب تشکیل گبدها، جزایر و هم‌چنین به تله افتادن هیدروکربور در میادین متعدد نفت و گاز (مانند میدان سلمان) در حوضه خلیج فارس شده است (Kent 1970).

برخی از محققین معتقدند که انحلال رسوبات نمکی پروتروزوئیک پسین موجب فروافتادگی و به وجود آمدن ناویس‌های بزرگی شده که بعداً توسط رسوبات آواری کامبرین-اردویسین پر شده است (Al-Marjeby and Nash 1986). در مرحله بعدی فعالیت مجلد نمک موجب معکوس شدن ناویس‌ها و تشکیل طاقدیس‌های مرتفع شده است (Heward 1990).

در پرمن پسین پلاتفرم اپی‌ریک بسیار گستردۀ ای از جنوب ایران تا عربستان سعودی گسترش داشته که این پلاتفرم حاصل گسترش نئوتیس و در نتیجه پیشروی آب دریا از



شکل ۳- فاز پلاتفرمی صفحه عربی در پرمن پسین-ژوراسیک پیشین (Heydari 2008)

علاوه بر آن رحیم پور بناب (Rahimpour-Bonab 2007)، رحیم پور بناب و همکاران (Rahimpour-Bonab et al. 2009, 2010) به بررسی محیط رسویی، دیاژنز و ارتباط آنها با خصوصیات مخزنی در توالی مخزنی دالان و کنگان، فرآیندهای ایندیریتی شدن و دولومیتی شدن در میدان پارس جنوبی و همچنین مرز پرموترياس پرداخته‌اند. بطور کلی به دلیل اهمیت میدان پارس جنوبی، عملده مطالعات قبلی انجام شده بر روی سازند دالان، بر روی این میدان متتمرکز بوده است. لذا نیاز به مطالعات جامع رسویشناسی و دیاژنزی بر روی این سازند مخزنی در میدان سلمان و میادین مجاور آن احساس می‌شود. هدف از این پژوهش بررسی تغییرات رخساره‌های بخش بالایی سازند دالان از میدان پارس جنوبی به سمت میدان سلمان با تأکید بر مقایسه محیط رسویی این سازند در دو میدان، نقش تکتونیسم نمک بر عمق رسویگذاری سازند دالان در میدان سلمان و در نهایت بازسازی موقعیت میدان سلمان نسبت به کمان قطره- فارس در زمان رسویگذاری سازند مزبور است.

چینه‌تگاری

مطالعات قبلی بر روی سازندهای کنگان و دالان در ناحیه منجر به تقسیم‌بندی این سازندها به پنج بخش مخزنی K1، K2، K3، K4 و K5 گردیده است. لایه‌های مخزنی K1 و K2 معادل سازند کنگان، لایه‌های K3 و K4 معادل بخش بالایی دالان و K5 معادل بخش غیرمخزنی دالان پایینی می‌باشند. بخش ایندیریتی نار (Nar Member) (مابین لایه‌های K4 و K5 قرار گرفته است و بخش‌های دالان پایینی و بالائی را از هم جدا می‌کند (Szabo and Kheradpir 1978) (جدول ۱). سازند دالان در ایران به سه بخش کربنات‌های پایینی، تبخیری‌های میانی نار و کربنات‌های بالایی تقسیم شده است (Szabo and Kheradpir 1978).

از این زمان به بعد در بخش‌های شرقی پلیت عربی و حوضه رسویی خلیج فارس (جنوب نئوتیس) رسویگذاری رسویات دریابی بدون انقطاع قابل توجه تا زمان ترشیاری ادامه داشته است (Sharland et al. 2001). این پلاتفرم حوضه رسویی با توپوگرافی بسیار ملایم بوده و بنابراین رخساره‌های گستردۀ‌ای را تشکیل داده که عرض آنها از ده‌ها تا صدها کیلومتر بوده است. در زمان پرمنین میانی تا پایانی آب و هوا به تدریج گرم‌تر و خشک‌تر شده و پلاتفرم کربناته- تبخیری بوجود آمد که در آن نهشته‌های کربناته- تبخیری گستردۀ‌ای تشکیل شد. شواهد رسویشناسی و چینه‌شناسی نیز این مطلب را تأیید می‌کند به گونه‌ای که در سازند دالان که سنگ مخزن گازی در بسیاری از میادین در حوضه خلیج فارس است، رخساره‌های خیلی شور لاغونی و تبخیری‌ها بیشتر گسترش دارند (Alsharhan and Nairn 1994; Stampfli 2000; Sharland 2001; Rahimpour-Bonab 2007)

پیشینه مطالعاتی بخش بالایی سازند دالان در میادین سلمان و پارس جنوبی

سازندهای دالان و کنگان به عنوان یکی از پیچیده‌ترین و اقتصادی‌ترین مخازن بزرگ هیدروکربوری دارای گاز شناخته شده‌اند، از این رو مطالعات گستردۀ‌ای از جنبه‌های گوناگون مانند محیط رسویی و چینه‌شناسی، تاریخچه تکتونیکی- رسویگذاری، منشأ هیدروکربور و خصوصیات مخزنی بر روی این سازندها صورت گرفته است.

از جمله مطالعات صورت گرفته در سال‌های اخیر می‌توان به مطالعه اینسالاکو و همکاران (Insalaco et al. 2006) (بر روی رسویگذاری، چینه‌نگاری سکانسی و بایواستراتیگرافی بخش بالایی سازند دالان و سازند کنگان در سه منطقه کوه‌های زاگرس، فارس خارجی و میدان پارس جنوبی اشاره کرد.

AGE		FORMATION		RESERVOIR UNIT	LITHOLOGY	
Mesozoic	Triassic	Early	Kangan			
Paleozoic	Permian	Early	Upper Dalan	K1	Dolomite + Anhydrite Anhydrite + Dolomite	
				K2	Dolomite, Limestone	
		Late		K3	Anhydrite + Dolomite Anhydrite	
				K4	Dolomite, Limestone, Anhydrite + Dolomite	
		Middle	Nar Anhydrite	Middle Anhydrite	Anhydrite	
		EARLY	Lower Dalan		K5	Limestone + Dolostone

جدول ۱- چینه نگاری کلی میدان پارس جنوبی و سلمان (Aali et al. 2005)

محلول آلیزارین رد- اس بر اساس روش متداول رنگ آمیزی دیکسون (Dickson 1965) رنگ آمیزی شدند.

رخسارهای و گروه‌های رخسارهای

بر اساس تجزیه و تحلیل پتروگرافی، انواع فرایندهای رسوبی که در ایجاد رخساره نقش داشته‌اند و مجموعه موجودات گیاهی و جانوری موجود در نمونه‌ها، چهار کمرندهای رخساره‌ای (جدول ۲) شناسایی شده‌اند که با دور شدن از خط فرضی ساحلی و حرکت به سمت دریای باز عبارتند از:

(A) گروه رخسارهای پهنه جزرومدی

گروه رخسارهای پهنه جزرومدی شامل رخسارهای:

روش مطالعه

جهت تعیین محیط رسوبی و نوع پلاتفرم کربناته بخش بالایی سازند دالان، ابتدا رخساره‌های میکروسکوپی در هر دو میدان بررسی شد و در مرحله بعد به دلیل شباهت نسبی میکروfasیس‌ها، تغییرات حوضه در زمان رسوبگذاری در دو میدان مورد بحث قرار گرفت.

جهت تجزیه و تحلیل رخساره‌ها، تغییرات عمودی و جانبی آنها، محیط رسوبی و نوع پلاتفرم کربناته، به ترتیب تعداد ۴۰۰ و ۳۸۷ عدد مقطع نازک از مغزه‌های به دست آمده از بخش بالایی سازند دالان، در دو چاه از میدان پارس جنوبی و سلمان مطالعه گردید. نام‌گذاری انواع بافت‌های آهکی بر اساس طبقه‌بندی دانهم (Dunham 1962) و تقسیم‌بندی کمرندهای رخساره‌ای بر اساس فلوگل (Flügel 2004) صورت گرفته است. جهت تعیین دقیق نوع لیتولوژی (دولومیت یا آهک)، تمامی مقاطع نازک با

A2: دولومادستون با نودول‌ها و بلورهای پراکنده ایندریت

توصیف: این رخساره شامل دولومیت ریز بلور با نودول‌ها و یا بلورهای پراکنده ژیپس و ایندریت، به شکل فیری-شعاعی، سوزنی و هم بعد می‌باشد. در این رخساره هیچ گونه آثاری از قطعات اسکلتی دیده نمی‌شود اما ممکن است ساخت لامیناسیونی، زیست آشفتگی، سطوح رخنمون و ترک‌های گلی وجود داشته باشد (شکل ۴-**c,b**).

تفسیر: در محیط‌های سبخا تا بخش‌های بالایی اینترتايدال ایندریت می‌تواند به صورت نودول‌هایی باشد که در مراحل اولیه دیاژنز هم‌زمان یا کمی پس از رسوب گذاری در آب‌های منفذی فوق‌اشباع از سولفات در زون موئینه تشکیل می‌شوند. (Gundogan et al. 2005; Warren 2006) بلورهای جدیدتر بین بلورهای قدیمی تر رشد کرده و با افزایش فشار باعث تغییر شکل رسوبات میزان و تشکیل بافت‌های قفس‌پرنده‌ای، درون‌سنگی و چین‌خورده می‌شوند. (Shearman and Fuller 1969; Louck and Longman 1982; Rouchy et al. 1994; Warren 2006) فلوگل (Flügel 2004) بلورهای پراکنده ایندریت، عدم وجود فسیل و دولومیت‌های ریز بلور را دلیلی بر نهشت آن در بخش‌های پهنهٔ جزرومدی و محیط سوپراتایdal و دیگر محیط‌های تبخیری و شورابه‌ها می‌داند.

A3: دولومادستون فنستراال

توصیف: رخساره دولومادستون فنستراال به صورت میان‌لایه با رخساره دولومادستون دارای ایندریت دیده می‌شود. لیتولوژی دولومیتی ریزبلور، حفرات فنستراال و چشم‌پرنده‌ای، ترک‌های گلی، بلورهای تبخیری، فقدان فوناهای دریایی و در برخی موارد وجود لامیناسیون از

A1: ایندریت لایه‌ای تا توده‌ای

توصیف: ایندریت لایه‌ای تا توده‌ای با فراوانی بیش از ۸۰ درصد ایندریت به صورت بلورهای شعاعی موازی و نیمه‌موازی، لامینه‌های موجی و بلورهای هم‌بعد با حاشیه مضرس است که به صورت میان‌لایه با دولومادستون دارای نودول‌ها و بلورهای پراکنده ایندریت تشکیل شده است. در لایه‌ها و نودول‌ها، ایندریت به شکل بلورهای ریزدانه همچنین موزائیک‌های چگالی از بلورهای کشیده ریزدانه قرار گرفته‌اند. این رخساره در میدان سلمان دارای ضخامت بیشتری است. (شکل ۴-**a**).

تفسیر: در شورابه‌های تبخیری سبخاها که میزان تبخیر بیش از بارش و آب ورودی به حوضه است در اثر ایجاد شرایط فوق‌اشباع محلول‌های غنی از سولفات، ژیپس و ایندریت نهشتہ می‌شوند (Lucia 2007; Sarg 2001). پتروگرافی رسوبات تبخیری نشان داده که ایندریت از دو طریق هم‌زمان با رسوب گذاری و همچنین ایندریتی شدن ژیپس در طول دیاژنز اولیه تا ثانویه می‌تواند تشکیل شود (Kasprzyk and Orti 1998).

اندریت‌های لایه‌ای تا توده‌ای با فراوانی بیش از ۸۰ درصد ایندریت، نهشتہ‌های سبخای سوپراتایdal تا شورابه‌های ساحلی و هیپرسالین لاگون هستند که همراه با فابریک‌های نودولار، قفس‌پرنده‌ای و درون‌سنگی دیده می‌شوند. این رخساره همچنین ممکن است در نتیجه جانشینی وسیع رسوبات کربناته قبلی توسط ایندریت لایه‌ای تا توده‌ای، لامینه‌ای یا نودولی - البته از منشأ دیاژنزی - باشد که فابریک‌های رسویی اولیه را قطع کرده‌اند. همچنین در اینها می‌توان بقایایی از بافت کربناته قبلی را دید. (Insalaco et al. 2006)

توصیف: دولومادستون‌ها فاقد هرگونه آثار خروج از آب از جمله حفرات فنستران و ترک‌های گلی و از طرف دیگر فاقد فونای لاغونی و آشفتگی زیستی هستند. استیلویلیتی شدن وسیع مهم‌ترین فرایند دیاژنزی مشاهده شده در این رخساره می‌باشد (شکل ۴-۴).

تفسیر: فقدان آثار خروج از آب از جمله حفرات فنستران و ترک‌های گلی، به علاوه همراهی نزدیک با استروماتولیت‌ها نشان‌دهنده تشکیل این رخساره در بخش‌های میانی پهنه جزر و مدی است (Tucker and Wright 1990). از طرف دیگر نبود آشفتگی زیستی و همراهی با رخساره‌های لاغونی نشان‌گر تشکیل این رخساره در شرایط دریایی محدود است که با افزایش شوری آب همراه بوده است (El-Araby 2005).

همراهی مجموعه رخساره‌های گروه A و شواهد رسوبی موجود حاکی از تشکیل آن‌ها در یک محیط پری‌تایdal با آب و هوای گرم و خشک است. با توجه به عرض جغرافیایی دیرینه پایین خلیج فارس (حدود ۱۷ تا ۲۵ درجه) در پرمنین پسین و حاکم بودن اقلیم گرم و خشک، شرایط تبخری - هیپرسالین گسترش داشته که سبب گسترش ایندیریتی شدن و دولومیتی شدن گردیده است (Rahimpour- Bonab et al. 2009; Khalifa 2004). حاصل دولومیتی شدن اولیه گل‌های آهکی هستند (Al-Aasm and Packard 2000) که در محیط‌های سوپراتایdal تا اینترتایdal حین دیاژنز اولیه در حوضچه‌های کم عمق به وجود می‌آیند (Sibley and Gregg 1987).

بلورهای فراگیر دولومیت از ریز تا متوسط بلور و شکل دار

تا نیمه‌شکل‌دار در تغییر است و باعث افزایش تخلخل بین بلورین شده است. این بلورها گاهی دارای مراکز ابری و حاشیه شفاف هستند که به دولومیت‌های دانه شکری معروفند.

ویژگی‌های این رخساره می‌باشد حفرات فنستران گاهای (d) توسط سیمان‌های کلسیتی و ایندریتی پر شده‌اند (شکل ۴-۵). تفسیر: فنستران‌ها هم‌زمان با رسوب گذاری و در اثر تخریب و فساد مواد آلی، ایجاد حباب گاز و رها شدن آن ایجاد شده که گاهای با ژیپس و ایندریت پر می‌شوند و در صورتی که به صورت موازی باشند نقش مهمی در افزایش خصوصیات مخزنی خواهند داشت (Korngreen and Benjamini 2010). این حفرات ممکن است در پهنه بین جزر و مدی و زیر جزر و مدی تشکیل شوند، ولی در پهنه جزر و مدی در نتیجه سنگ‌شدنگی سریع با سیمان کربناته یا (Wray 1977; Shin 1968, 1983a,b)

A4: باندستون استروماتولیتی

توصیف: رخساره استروماتولیت باندستون از تناوب لامینه‌های روشن و تیره رنگ مسطح و موجی ساخته شده و دارای قالب‌های تبخیری، نودول‌های ایندریتی، فابریک‌های فنستران و ترک‌های گلی است (شکل ۴-۶).

تفسیر: در اثر فعالیت‌های میکروبی و به تله افتادن رسوبات توسط سیانوباکتری‌های آهک‌ساز در محیط کم انرژی استروماتولیت‌ها تشکیل می‌شوند (Warren 2006; Tucker 1990 and Wright 1990). استروماتولیت‌ها در زیر محیط سبخا تا بین جزر و مدی تشکیل و حفظ می‌شوند (Mathews 1974; Shin 1983a, 1983b, Walkden and Matos 2000; Palma et al. 2007)

برخی معتقدند استروماتولیت‌ها در محیط‌های متنوعی زیست می‌کنند، ولی عمدهاً محیط زیست آن‌ها در آب‌های کم عمق حاشیه حوضه‌های دریایی و دریاچه‌های با آب‌های شور می‌باشد (Wray 1977; Flugel 2004)

A5: دولومادستون



شکل ۴- (a) آنیدریت لایه‌ای تا توده‌ای (تصویر در نور (XPL) (b) دولومادستون با بلورهای پراکنده آنیدریت و ژپس (تصویر در نور (XPL) (c) فابریک قفس پرنده در نتیجه افزایش رشد نودولهای آنیدریت در دولومادستون (تصویر در نور (XPL) (d) دولومادستون با حفرات فنسترا (تصویر در نور (PPL) (e) باندستون استروماتولیتی (تصویر در نور (PPL) (f) دولومادستون با بلورهای خیلی ریز دولومیت که تخلخل استیلویتی در آن مشخص است (تصویر در نور (PPL)

میدان پارس جنوبی رخساره دولومادستون با بایوتوربیشن گسترده جایگزین این رخساره شده است.

B2: دولومادستون بایوتوربیشن دار

توصیف: این رخساره شامل دولومادستونی است که به ندرت دارای خردۀ‌های اسکلتی و پلوئیدی است. رخساره دولومادستون با زیست‌آشفتگی فاقد هرگونه نشانه‌های زون اینترتايدال مانند حفرات فنسترا، ترک‌های گلی و لامیناسیون است (شکل ۵-۱b).

تفسیر: گردش نسبتاً کم آب دریا در محیط لاگون و ارتباط محدود آن با دریای باز شرایط تقریباً نامساعدی را برای زیست موجودات فراهم کرده که موجب تنوع زیستی کم آن‌ها می‌گردد (Wilson 1975). در چنین محیطی در اثر انرژی کم و محدودتر بودن مواد غذایی فعالیت موجودات رسوب خوار بیشتر است که ایجاد زیست‌آشفتگی با مرز مشخص می‌کند (Wetzel 1991). افزایش زیست‌آشفتگی به سمت میدان پارس جنوبی دلیل بر گسترش بیشتر محیط لاگون با شوری نزدیک به طبیعی در زمان تشکیل این رخساره است (Enos 1983).

اینسالاکو و همکاران (Insalaco et al. 2006) این رخساره را به عنوان مادستون‌های بزرگ دور از زون اینترتايدال در محیط لاگونی معرفی می‌کند.

B3: دولووکستون بیوکلاستی

توصیف: وکستون بایوکلاستی دارای مقادیر زیادی جلبک سبز (داسی کلادسه و میزیا)، مقادیر کمتری گاستروپودا و فرامینیفر بتیک از جمله میلیولید، و مقادیر ناچیزی دوکفه‌ای، خارپوست و استراکود است. در این رخساره پلت‌های دفعی به طور پراکنده دیده می‌شود.

رخساره‌های پهنه جزرومدمی در هر دو میدان در واحد K3 با گسترش بیشتری نسبت به واحد K4 دیده می‌شود. چنانچه در ستون لیتولوژی و رخساره‌ای نشان داده شده (شکل ۸) ضخامت این رخساره‌ها در میدان سلمان نسبت به میدان پارس قابل ملاحظه‌تر است این امر حاکی از شبات زیاد زون‌های مخزنی در این دو میدان است.

(B) گروه رخساره‌ای لاگون این گروه شامل رخساره‌های:

B1: دولومادستون تا دولووکستون پلوئیدی

توصیف: رخساره دولومادستون تا دولووکستون پلوئیدی دارای پلوئیدهای کوچک تا بزرگ، ماتریکس میکرایتی، زیست‌آشفتگی و مقادیر ناچیزی قالب نرم تنان بهویژه میکروگاستروپودا و به میزان کم فرامینیفرهای لاگون است (شکل ۵-۱a).

تفسیر: نبود ساخته‌های جریانی و آثار خروج از آب به همراه زیست‌آشفتگی و کمبود ذرات اسکلتی نشان‌دهنده چرخش محدود آب و یا شوری زیاد است (Elrick and Read 1991).

تشخیص منشأ پلوئیدها چندان آسان نیست اما با توجه به حضور فسیل گاستروپود و دوکفه‌ای حداقل بخشی از پلوئیدها می‌تواند منشأ دفعی داشته باشد. علاوه بر این اندازه متغیر پلوئیدها و زاویه‌دار بودن آنها منشأ لیتوکلاستی را نیز (Tucker and Wright 1990; Flugel 2004) نشان می‌دهد (Khalifa 2004). این رخساره تغییر تدریجی رخساره‌های پایینی پهنه جزرومدمی تا ابتدای لاگون را به خوبی نشان می‌دهد (Tucker and Wright 1990; Khalifa 2004).

رخساره دولومادستون تا دولووکستون پلوئیدی در میدان سلمان دارای ضخامت قابل توجهی است در حالی که در

در این رخساره میزان و اندازه جلبک‌های سبز، همچنین فراوانی پلوئیدها افزایش و میزان فرامینیفرها کاهش نشان می‌دهد. همچنین در این رخساره ائیدهای میکرایتی شده، آنکوئید و قطعات ایتراکلست نیز مشاهده شد. جور شدگی

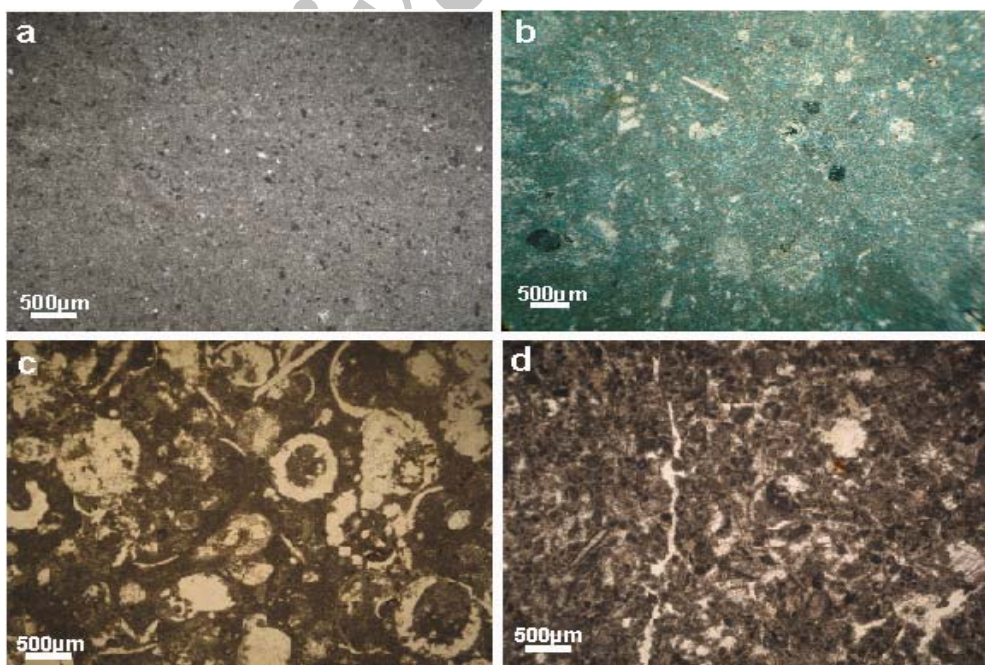
در این رخساره متوسط تا پایین است (شکل ۵-۴). تفسیر: جلبک‌های سبز در دریای کم‌زرفای گرم با چرخش محدود آب همراه با پلوئید به طور معمول در لاگون پشت سد فراوان هستند (Tucker 1991). کاهش زیست‌آشفتگی در مقایسه با رخساره دولوپکستون بیوکلاستی، افزایش میزان ائیدهای همچنین وجود آنکوئید و ایتراکلست‌های نیمه‌گرد تا گرد شده و همراهی نزدیک با رخساره گرینستون تا پکستون بیوکلاستی ائیدی سمت بادپناه سدهای زیرآبی، نشان‌دهنده تشکیل این رخساره در بخش‌های لاگونی نزدیک‌تر به سدهای زیرآبی است.

فعالیت میکروبی و میکرایتی شدن توسط جلبک‌های سبز قشرساز، آلوکم‌ها را به شدت تحت تأثیر قرار داده به طوریکه اکثردانه‌ها به طور کامل میکرایتی شده‌اند (شکل ۵-۵).

تفسیر: انواع بایوکلاست‌های شاخص لاگونی شناور در ماتریکس گلی، زیست‌آشفتگی، پلت‌های دفعی و از طرفی پوشش میکرایتی گسترده بر روی بایوکلاست‌ها، نرخ پایین رسوب گذاری و قرارگیری طولانی مدت دانه‌های اسکلتی در شرایط آب‌های آرام و محدودشده نظیر محیط لاگونی (Khalifa and Zaghloul 1990; Tucker 1990; Palma et al. 2007) and Wright 1990)

B4: دولوپکستون بیوکلاستی پلوئیدی

توصیف: در رخساره پکستون بایوکلاستی پلوئیدی انواع بایوکلاست‌های لاگونی مشابه با رخساره دولوپکستون بایوکلاستی است، اما



شکل ۵- a) دولومادستون تا دولووکستون پلوئیدی (تصویر در نور (PPL). b) دولومادستون با زیست‌آشفتگی (تصویر در نور (XPL). c) دولووکستون بایوکلاستی پلوئیدی (تصویر در نور (PPL). d) دولوپکستون بایوکلاستی پلوئیدی (تصویر در نور (PPL)

-۶) envelope تا میکرایتی شدن کامل فراوان است (شکل (a)

تفسیر: حضور ذرات آلومینیم پرانرژی مانند ائیدهای شناور در ماتریکس گلی نشان دهنده معکوس شدگی بافتی است (Wilson 1975; Flugel 1982).

فرابوی نسبتاً کم ائیدهای همراهی با رخساره‌های کم انرژی تر سدهای زیر آبی، میکرایتی شدن و افزایش میزان بیوکلاست‌های لاغونی تشکیل این رخساره در سمت رو به لاغون سدهای زیر آبی (بادپناه شول) را نشان می‌دهد.

C2: رخساره گرینستون ائیدی

توصیف: ائیدهای دانه‌درشت تا متوسط متعدد مرکز آلومینیمی آن می‌باشد. اگرچه خرددهای بیوکلاست، اینتراکلست، آنکوئید و پلوئید نیز وجود دارد. جورشدگی، گردش‌گی و دانه‌بندی تدریجی از ویژگی‌های مهم این رخساره است. انواعی از گرینستون‌های ائیدی تا مخلوط گرینستون‌های پلوئیدی ائیدی یا مخلوط گرینستون‌های بیوکلاستی ائیدی و گرینستون اینتراکلستی در بخش‌های مرکزی شول معمول هستند (شکل ۶-۶).

تفسیر: به طور کلی ائیدهای معمولی با چندین لامینه در محیط‌های نسبتاً کم عمق با انرژی بالا و اشباع از کربنات کلسیم مانند سدهای حاشیه‌ای و یا اینترتايدال، نهشته می‌شوند (e.g., Peryt 1983). فراوانی ائیدها (Hips 2004; Flugel 1998; 1999) جور شدگی، گردش‌گی و نبود میکرایت، آثار فرسایش در دانه‌های سازنده این رخساره‌ها، همراه با ساختارهای رسوبی مانند کراس بدینگ، دانه‌بندی تدریجی و لامیناسیون، انرژی مداوم و بالا را در زمان (Tucker and Wright 1990; Boardman and Carney 1991; Games and Kendal 1992; Tucker et al. 1993;)

فلوگل (Flugel 2004) پیدایش همزمان گاستروپودا و پلت‌های دفعی همراه با آشفتگی زیستی زیاد را تأییدی بر محیط دریایی کم‌زرفا و کم‌انرژی می‌داند. دولومیتی شدن در محیط لاغون عمده‌تاً فراگیر و تقلید کننده فابریک بوده است. اما گاهی در رخساره‌های لاغونی دانه‌درشت، دولومیت‌های تخریب کننده فابریک نیز دیده می‌شود. در این رخساره فرایند جانشینی اندیزیت پس از انحلال خرددهای اسکلتی خصوصاً جلبک‌های سبز گسترده می‌باشد. گسترش سیمان اندیزیت ثانویه گاهی به حدی می‌رسد که به طور کامل جانشین دانه‌ها و ماتریکس می‌شود. در واحد K3 رخساره‌های کم عمق لاغونی همراه با رخساره‌های پهنه جزرومی نسبت به K4 گسترش‌بیشتری دارند. اگرچه به علت کم عمق بودن حوضه در میدان سلمان شرایط لاغونی در واحد K4 نسبت به پارس جنوبی بیشتر حاکم بوده است.

C) گروه رخساره‌ای سدهای زیرآبی

این گروه شامل:

C1: گرینستون تا پکستون بیوکلاستی ائیدی

توصیف: این رخساره دارای بافت گرینستونی تا پکستونی است. اجزاء اصلی این رخساره شامل پلوئیدها، ائیدهای ریز و خرددهای اسکلتی از جمله فرامینیفرها، نرم تنان و خرددهای جلبک و غیره است. اندازه ائیدها معمولاً کوچکتر از ۱ میلیمتر است که جورشدگی ضعیف تا متوسطی دارند. تغییر تدریجی به گرینستون‌های ائیدی ریزدانه و همچنین پکستون‌های بیوکلاستی پلوئیدی لاغون دیده می‌شود. ائیدها و پلوئیدهای شناور در ماتریکس گلی در رخساره‌های به سمت لاغون سدهای زیرآبی دیده می‌شود. میکرایتی شدن به صورت پوشش میکرایت (Micrit) (Micrit

حمل شده از سدهای زیرآبی است. جورشدگی متوسط، زمینه عاری از گل و توسعه سیمان دریایی نسل اول از ویژگی های این رخساره است (شکل ۶-d).

تفسیر: وجود اینتراکلست های گردد شده در کنار ائیده ای متعددالمرکز و بود گل کربناته نشان دهنده تشکیل این رخساره در محیط پرانرژی سدهای زیرآبی (بخش مرکزی تا رو به دریای سدهای زیرآبی) در بالای سطح اساس امواج عادی دریا است.

توسعه سیمان دریایی هم ضخامت تشکیل این رخساره را در محیط فریاتیک دریایی با انرژی بالا تأیید می کند (Bathurst 1975).

فرایند دولومیتی شدن در رخساره های سدهای زیرآبی عمدتاً فراگیر بوده، اما در مواردی تنها ائیده اها و سیمان دریایی دوردانه را به شکل انتخاب کننده فابریک و تخریب کننده، تحت تأثیر قرار داده است. تبلور مجدد دولومیت های جانشینی در گرینستون های سدی در واحد K4 در میدان پارس جنوبی باعث تشکیل دولومیت های تخریب کننده فابریک شده است (شکل ۶-e,f). این دولومیت ها معمولاً به صورت موzaïek هایی از بلورهای نیمه شکل دار هستند که عمدتاً بافت قبلی را کاملاً از بین برده و تنها شواهدی از آلوکم های موجود چندان گذاشته اند اگر چه تشخیص نوع آلوکم های موجود آسان نیست. در نور طبیعی بلورهای دولومیت جانشینی دارای ظاهر ابری و خاموشی مستقیم تا موجی ضعیف هستند. این بلورها توسط گرگ و سایلی (Gregg and Sibly 1984) دولومیت زنوتوبیک گفته شده اند. در حالیکه ضخامت این واحدهای دولومیتی شده در میدان پارس جنوبی به حدود ۱۰ متر هم می رسد، در میدان سلمان این نوع دولومیتی شدن دیده نشد. این دریت در این رخساره عمدتاً از نوع فراگیر و گاهاً جانشینی می باشد که افزایش یا کاهش کیفیت مخزنی بستگی به گسترش این سیمان ها دارد.

C3: گرینستون اینتراکلاستی

توصیف: رخساره ای گرینستونی و گاهی پکستونی که آلوکم اصلی آن اینتراکلست است. اگرچه ائید و بیوکلست هایی نظیر جلبک سبز و گاستروپودا نیز در آن فراوان است. دارای جورشدگی نسبتاً خوب و گرددگی خوبی می باشد (شکل ۶-c).

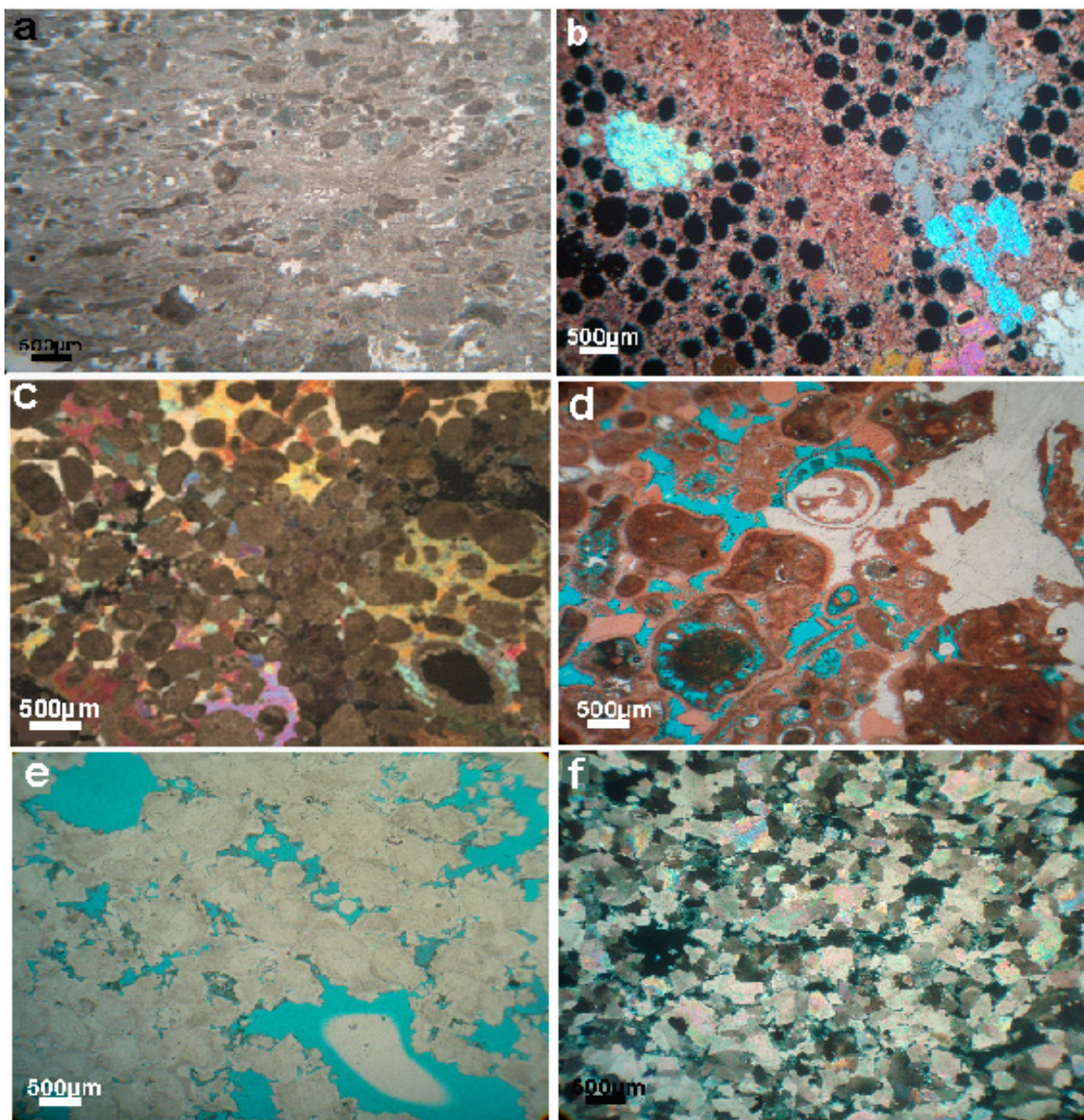
تفسیر: وجود اینتراکلست های گرد شده در کنار ائیده ای متعددالمرکز و بود گل کربناته نشان دهنده تشکیل این رخساره در محیط پرانرژی سدهای زیرآبی در بالای سطح اساس امواج عادی دریا است (Wilson 1975; Scoffine 1987; Tucker and Wright 1990)

اینتراکلست ها از فرسایش رسوبات کربناته سیمانی شده، توسط جریان ها در کانال های جزر و مدی یا جریانات طوفانی نیز بوجود می آیند (Folk 1962; Tucker and Wright 1990).

این رخساره تنها در میدان سلمان در واحد K4 دارای گسترش بوده و در میدان پارس جنوبی اینتراکلست ها در رخساره گرینستون ائیدی به صورت پراکنده حضور دارند. به نظر می رسد که رخساره های C2 و C3 دو نوع سد را می ساخته اند به طوریکه در میدان پارس جنوبی یک سد ائیدی و به سمت میدان سلمان به سد ائیدی تا اینتراکلستی ائیدی تغییر یافته است.

C4: گرینستون بیوکلاستی اینتراکلستی درشت دانه

توصیف: گرینستون بایوکلاستی اینتراکلستی درشت دانه شامل اینتراکلست و بیوکلاست هایی نظیر بریوزوئر، جلبک سبز، برآکیوپود، صفحات خارپوست، فرامینیفرهای لاغون و دریایی باز به علاوه مقدار زیادی پلوئید والائیدهای



شکل ۶-۶) (a) گرینستون تا پکستون بایوکلاستی ائیدی در سمت رو به لاغون سدهای زیرآبی (تصویر در نور PPL). (b) گرینستون ائیدی با تخلخل قالبی فراوان و سیمان کلسیتی دور دانه (تصویر در نور XPL). (c) گرینستون اینتراکلسی (تصویر در نور XPL). (d) گرینستون بایوکلاستی اینتراکلسی درشت دانه در سمت رو به دریای باز سدهای زیرآبی (تصویر در نور PPL). (e) دولومیت جانشینی در نور PPL. اندازه بلورهای دولومیت در یک مقطع تغییر می کند که تبلور مجدد دولومیت از بلورهای کوچکتر به بزرگتر را نشان می دهد. (f) تصویر دولومیت جانشینی در نور XPL.

در میدان پارس جنوبی این رخساره در ابتدای رمپ میانی تا بخش‌های عمیق‌تر دریای باز قرار گرفته و در مجاورت این رخساره در بلافصل کمپلکس شول و دریای باز رخساره گرینستون تا پکستون بیوکلاستی تشکیل شده است.

D2: گرینستون تا پکستون بیوکلاستی

توصیف: گرینستون‌ها و پکستون‌های ریزدانه حاوی مقادیر زیادی خردۀ‌های اکینودرم، فرامینیفرهای بسیار ریز و استراکود است. این رخساره در میدان سلمان دیده نشد، در این میدان رخساره مادستون فسیل‌دار دریای باز بلافصله در کنار رخساره‌های سدهای زیرآبی قرار گرفته است
(شکل ۷).

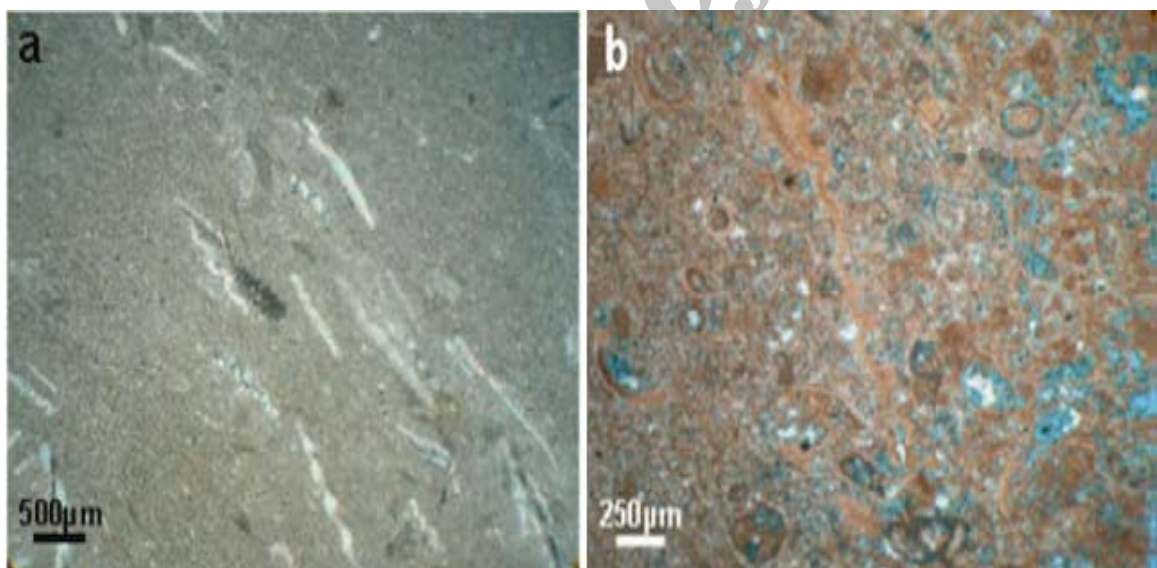
(D) گروه رخساره‌ای دریای باز

این گروه شامل رخساره‌های:

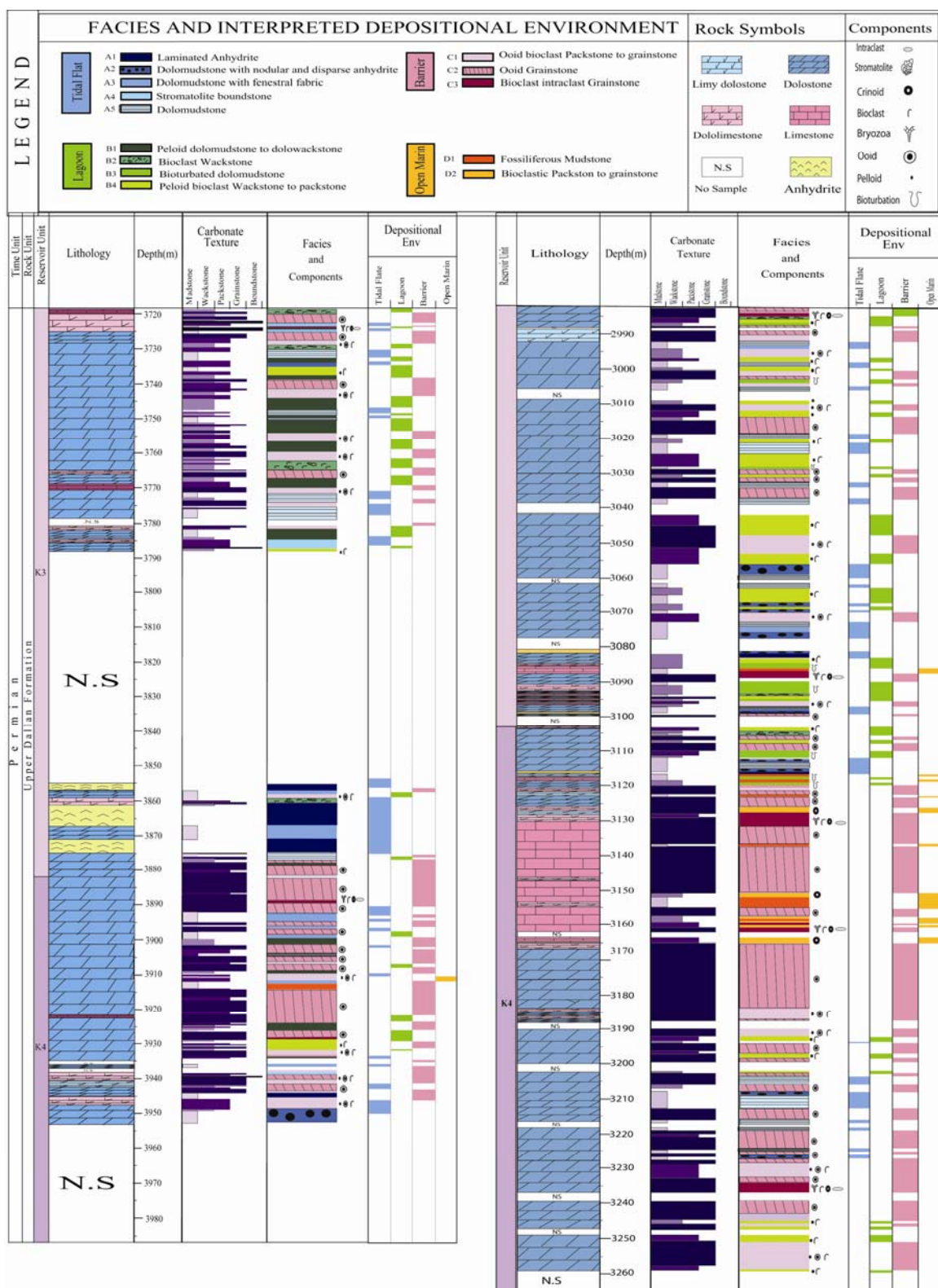
D1: مادستون فسیل‌دار

توصیف: مادستون‌های فسیل‌دار دارای میکروفونا و ماکروفونای دریای باز نظری خردۀ‌های کرینویید، برآکیوپود، بریوزوئر، فرامینیفرهایی با دیواره هیالین و استراکود در متنه از گل است (شکل a-7).

تفسیر: میزان کم دانه‌های اسکلتی، فراوانی گلسنگ آهکی، عدم وجود تبخیری‌ها و نبود ساختمان‌های حاصل از امواج و جریان‌ها، حاکمی از محیط کم انرژی دور از ساحل و زیر سطح اساس امواج طوفانی دریاست (Calvet and Tucker 1988; Keller 1997).



شکل ۷ - (a) مادستون فسیل‌دار (b) گرینستون تا پکستون بیوکلاستی (تصاویر در نور XPL)

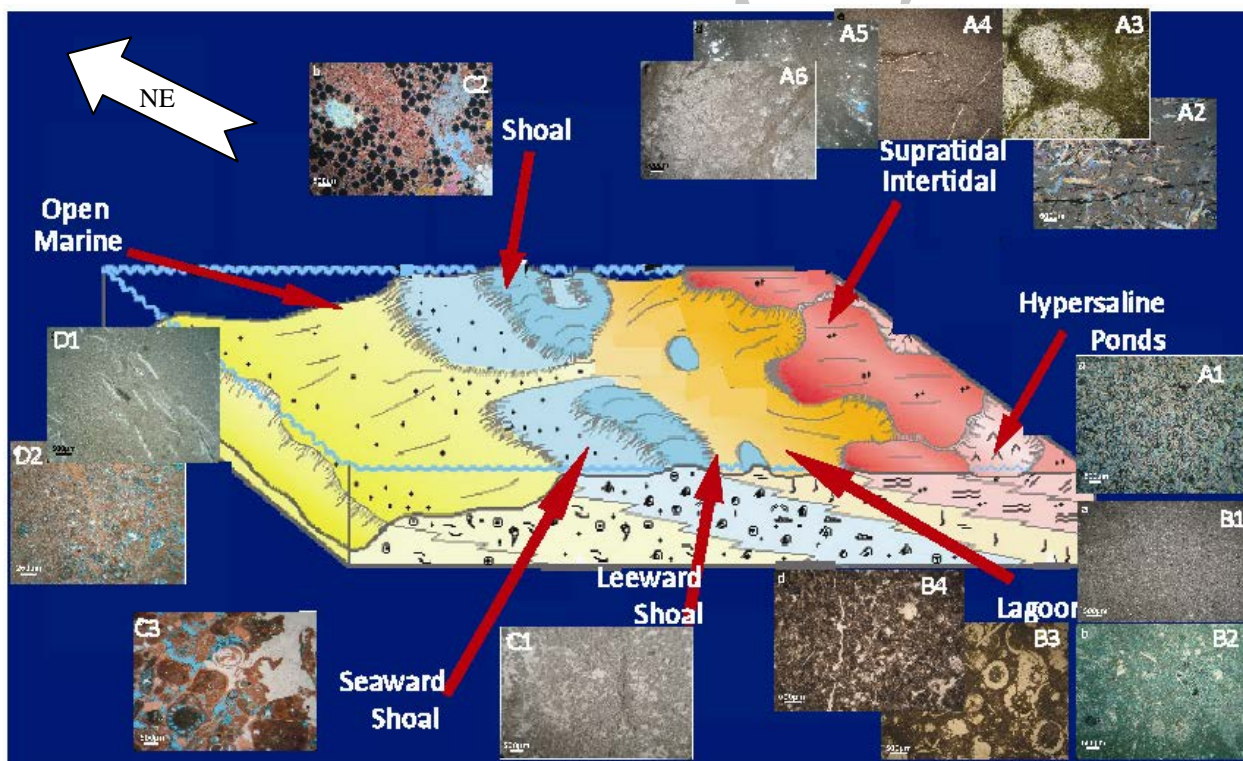


شکل ۸- ستون لیتو‌لوزی و رخساره‌ای همراه با محیط‌های رسوبی مربوطه برای بخش بالایی سازند دالان در میادین سلمان (سمت چپ) و پارس جنوبی (سمت راست)

پارس جنوبی در یک رمپ با شیب کم نهشته شده‌اند (شکل ۹). در پرمین بالایی جداشدگی بستر دریا و به همراه آن پیشروی آب دریا منجر به تشکیل این پلاتفرم شده که از جنوب ایران تا عربستان سعودی گسترش داشته است (Stampfli 2000; Sharland et al. 2001) (شکل ۹). در پرمین بالایی دیرینه ۲۰ کمریند خشک تا نیمه استوایی با عرض جغرافیایی دیرینه ۲۵ درجه جنوبی در پرمین پسین و ۱۷ تا ۲۰ درجه جنوبی تا ۲۵ درجه جنوبی در پرمین پسین (Stampfli 2000; Angiolini et al. 2003)

مدل حوضه رسویی

با بررسی تغییرات عمودی و جانبی رخساره‌ها بر اساس اصل والتر و مقایسه آنها با رخساره‌های محیط‌های امروزی و قدیمی، مدل رسویی برای بخش بالایی سازند دالان در چاههای مطالعه شده ارائه گردیده است. تغییر تدریجی بین کمریندهای رخساره‌ای نسبتاً وسیع، تنوع کم رخساره‌ای، عدم گسترش ریف‌های حاشیه‌ای مشخص، وجود فاسیس‌های گرینستونی پرانژری در سمت رو به خشکی و (Wilson 1975; Read 1985; Tucker 1993; Flugel 2004) نشان می‌دهد که رسویات دالان بالایی در میادین سلمان و



شکل ۹- مدل رسویی پیشنهادی بخش بالایی سازند دالان در میادین پارس جنوبی و سلمان

نتیجه‌گیری

تبخیری‌ها در دلان بالایی از گسترش زیادی برخوردار هستند. در حالیکه گسترش رخساره‌های پری‌تایdal از جمله سوپراتایdal در میدان سلمان بیش از این رخساره‌ها در میدان پارس‌جنوبی است، رخساره‌های سدهای زیرآبی و دریایی باز در میدان پارس از ضخامت بیشتری برخوردارند. بنابراین روند کم‌عمق‌شدگی حوضه از میدان پارس‌جنوبی به سمت میدان سلمان بوده، به این معنی که میدان سلمان در حاشیه این پلاتفرم قرار داشته است. همچنین گسترش ناچیز مادستون با زیست آشفتگی در میدان مذکور نسبت به پارس‌جنوبی دلیل بر وجود شرایط نامساعد و شورتر جهت زیست و فعالیت موجودات در حاشیه پلاتفرم بوده است. این شواهد حاکی از افزایش نسبی انرژی و عمیق‌تر شدن حوضه از میدان سلمان به سمت میدان پارس‌جنوبی، و شرایط محیطی مساعد‌تر برای زیست موجودات در این در این بخش از حوضه است.

قرارگیری سازند دلان در اعماق بیشتر در میدان سلمان (نسبت به پارس‌جنوبی) ظاهراً ناشی از انحلال رسوبات نمکی پروتروزوئیک پسین بوده است. به طوریکه انحلال نمک‌ها پس از تشکیل، ایجاد فروافتادگی‌ها و ناویدیس‌هایی کرده است که با گذشت زمان توسط رسوبات پرمین پسین پر شده‌اند.

منابع

- 1- Aali J., H. , Rahimpour-Bonab and M. R., Kamali 2006, Geochemistry and origin of the world's largest gas field from Persian Gulf, Iran: Journal of Petroleum Science and Engineering v. 50, p. 161–175.

بر اساس مطالعات انجام گرفته در این مقاله پانزده میکروفاسیس شاخص در بخش بالایی سازند دلان شناسایی شد که در چهار کمربند رخساره‌ای پهنه جزرومی، لاغون، سد و دریایی باز بر روی یک پلاتفرم رمپ کربناته وسیع با شیب کم تشکیل شده‌اند. این رخساره‌ها عمدتاً در بخش داخلی تا ابتدای بخش میانی رمپ نهشته شده‌اند. بررسی میکروفاسیس‌ها نشان داد که تنوع رخساره‌ای در این پلاتفرم به دلیل نیمرخ توپوگرافیک ملایم (یعنی رمپ)، همانند دیگر محیط‌های مشابه در طول زمان زمین‌شناسی، کم است. کمان قطر-فارس که در زمان پرمین پسین یک بلندای ساختاری بوده حوضه خلیج فارس را به دو زیر‌حوضه شرقی و غربی تقسیم کرده است. در سرتاسر حوضه خلیج فارس گسترش وسیع سری نمکی هرمز به استثنای کمان قطر-فارس که میدان پارس‌جنوبی قسمت شمالی آن را تشکیل می‌دهد و دیگر بالا‌آمدگی‌های موازی با روند این کمان، نشانگر این است که این بالا‌آمدگی‌ها حتی در زمان پروتروزوئیک پسین وجود داشته‌اند. در طی دوران پالئوزوئیک خصوصاً تا پیش از پرمین این ساختارهای مرتفع به دلیل حرکت گسل‌ها، پی در پی فعال و جوان می‌شده‌اند. این پژوهش نشان داد که میدان سلمان کاملاً در خارج از یال شرقی کمان قطر-فارس واقع شده و تحت تأثیر حرکت گسل‌های عمیق بی‌سنگ و تکتونیسم شدید نمک بوده است.

از آنجا که در پرمین اقلیم گرم و خشکی در تمام منطقه حکم‌فرما بوده رخساره‌های خیلی سور لاغونی و

- texture . In: Ham, W.E. (Ed.), Classification of Carbonate Rocks: American Association of Petroleum Geologists Memoir, p.108-121.
- 11- Edgell, H.S., 1991, Proterozoic salt basins of the Persian Gulf area and their role in hydrocarbon generation: Precambrian Research, v. 54, p.1-54.
- 12- Edgell, H.S., 1996, Salt tectonism in the Persian Gulf Basin. v. 100, p.129-151
- 13- Elrik, M., and J.F. Read, 1991, Cyclic ramp to basin carbonate deposits Lower Mississippian, Wyoming and Montana: a combined field and computer modeling study: Sedimentary Petrology, v. 61, p. 1194-1224.
- 14- Enos, P., 1983, Shelf environment . In P.A., Scholle, D.G., Bebout and C.H. , Moore (Eds.), Carbonate Depositional Environment: American Association Petroleum Geologists Memoir, v. 33, 708p.
- 15- Esrafil-Dizaji, B., and H. Rahimpour-Bonab, 2009, Effects of depositional and diagenetic characteristics on carbonate reservoir quality: a case study from the South Pars gas field in the Persian Gulf: Petroleum Geoscience, v. 15, p. 325-344.
- 16- Flugel, E., 2004, Microfacies of Carbonate Rocks. Analysis, Interpretation and Application: Springer-Verlog, 976p.
- 17- Gregg, J.M., and D.F. Sibbly, 1984, Epigenetic dolomitization and the origin of xenotopic dolomite texture: Journal of Petroleum Geology, v. 54, p. 908-931
- 18- Gundogan, I., O. Mehmet, and T. Depçi, 2005, Sedimentology, petrography and diagenesis of Eocene–Oligocene evaporites: the Tuzhisar Formation, SW Sivas Basin, Turkey:
- 2- Al-Aasm, I.S., and J.J. Packard, 2000, Stabilization of early-formed dolomite: a table of divergence from two Mississippian dolomites: Sedimentary geology, v. 131, p. 97-108.
- 3- Al- Husseini, M. I., 2000, Origin of the Arabian plate structures: Amar collision and Najd rift, Geo Arabia, v. 5, p. 527- 542
- 4- Al-Marjeby, A., and S.F. Nash, 1986, A summary of the eastern flank hydrocarbon province of south Oman: Journal of Petroleum Geology, v. 3(4), p. 306-314.
- 5- Alsharhan, A.S., and A.E.M. Nairn, 1994, Stratigraphy and sedimentology of the Permian in the Arabian Basin and adjacent areas: a critical review. In. P. Scholle (Ed.), Permian of the world. Springer-Verlag.
- 6- Alsharhan, A.S., and A.E.M. Nairn, 1997, Sedimentary basins and petroleum geology of the Middle East: Elsevier, 843p.
- 7- Angiolini, L., M. Balini, E. Garzanti, A. Nicora, A. Tintori, S. Crasquin, and G. Muttoni, 2003, Permian climate and paleogeographic changes in Northern Gondwana: the Khuff Formation of interior Oman: Paleogeography, Paleoclimatology, Paleoecology. v. 191, p. 269-300
- 8- Bathurst, R.G.C., 1975, Carbonate Sediments and their Diagenesis, Development in sedimentology, v. 12, Elsevier, Amesterdam, 658p.
- 9- Calvet, E., and M. Tucker, 1988, Outer ramp cycles in the upper Muschelkalk of the Catalan basin, Northeast Spain: Sedimentary Geology, v. 57, p. 785-798
- 10- Dunham, R.J., 1962, Classification of carbonate rocks according to depositional

1997. High-latitude response to the K/T boundary event in Ecuador: *Marine Micropaleontology*.
- 26- Kent, P.E., 1970, The salt plugs of the Persian Gulf Region: *Leicester Lit., Phil., Soc., Trans.*, v. 64, p. 55-88.
- 27- Khalifa, M.A., and E.A. Zaghloul, 1990, Carbonate lithofacies and depositional environments of the Lower Eocene Farafra Limestone, Farafra Oasis, Western desert, Egypt, v. 11, p. 281-289.
- 28- Khalifa, M.A., 2004, Lithofacies, diagenesis and cyclicity of the 'Lower Member' of the Khuff Formation (Late Permian), Al Qasim Province, Saudi Arabia: *Journal of Asian Earth Sciences*, p 1-16.
- 29- Konert, G., A.M. Afif, S.A. Al-Hajari, and H. Droste, 2001, Paleozoic stratigraphy and hydrocarbon habitat of the Arabian Plate: *GeoArabia*, v. 6(3): p. 407-442
- 30- Korngreen, D., and C. Benjamini 2010, The epicontinental subsiding margin of the Triassic in Northern Israel, North Arabian Plate: *Sedimentary Geology*, 42p.
- 31- Lucia, J.F., 2007, Carbonate Reservoir Characterization: An Integrated Approach: Springer Varlag, Berlin Heidelberg, 341p.
- 32- Loucks R.G., and M.W. Longman, 1982, Lower Cretaceous Ferry Lake anhydrite, Fairway Field, East Texas: product of shallow-subtidal deposition. In: Handford, C.R., Loucks, R.G., Davies, G.R. (Eds.), Depositional and Diagenetic Spectra of Evaporites: *Soc. Econ. Paleontol. Mineral., Core Workshop*. v. 3, p 130–173.
- Journal of Asian Earth Sciences, v. 25, p. 791-803.
- 19- Heward, A.P., 1990, Salt removal and sedimentation in southern Oman. In: Robertson, A.H.F., Searle, M.P., and Ries, A.C. (Editors and tectonics of the Oman region. Geological society Spec. Publ., v .49, 845p.
- 20- Heydari, E., 2008, Tectonic versus eustatic control on supersequences of the Zagros Mountain of Iran: *Tectonophysics*, v. 451, p. 56-70.
- 21- Hips, K., and J. Hass, 2006. Calcimicrobial stromatolites at the Permian-Triassic boundary in a western Tethyan section , Bukk Mountains, Hungary: *Sedimentary Geology*, v. 185, p. 239-253.
- 22- Insalaco, E., A. Virgone, B. Coutme, J. Gaillot, M. Kamali, A. Moallemi, M. Lotfpour, and S. Monibi, 2006, Upper Dalan Member and Kangan Formation between Zagros Mountains and offshore Fars, Iran: depositional system, biostratigraphy and stratigraphic architecture: *GeoArabia*, v. 11, p. 75-173.
- 23- Kashfi, M.S., 1992, Geology of the Permian Supergiant Gas reservoir in the greater Persian Gulf area: *Journal of Petroleum: Geology*. v. 15, No.4, p.465–480.
- 24- Kasprzyk, A., and F. Orti, 1998, Paleogeographic and burial controls on anhydrite genesis: a case study from the Badenian basin in the Carpathian Foredeep (southn Poland, western Ukrain): *Sedimentology*, v. 45, p. 889-907
- 25- Keller, G., T. Adatte, C. Hollis, M. Ordóñez, I. Zambrano, N. Jiménez, W. Stinnesbeck, A. Aleman, and W. Hale-Erlich,

- 41- Sarg, J.F., 2001. The sequence stratigraphy, sedimentology and economic important of evaporate carbonate transitions: a review: *Sedimentary Geology*, v. 149, p. 9-42.
- 42- Sharland, P.R., R. Archer, D.M. Casey, R.B. Davies, S.H. Hall, A.P. Helward, A.D. Horbury, and M.D. Simmons, 2001, Arabian Plate sequence stratigraphy. *GeoArabia Special Publication2*, Gulf petro Link, Bahrain, 371p.
- 43- Shearman, D.J., and J.G. Fuller, 1969, Anhydrite diagenesis, calcitization, and organic laminites, Winnipegosis Formation , Middle Devonian, Saskatchewan: *Bull. Can. Petroleum Geology*, v. 17, p. 496-525.
- 44- Sibley, D.F., and J.M. Gregg, 1987, Classification of dolomite rocks textures. *Journal of Sedimentary Petrology*, v. 57, p. 967-975.
- 45- Stampfli, G., 2000, Tethyan Oceans. In: Bozkurt, E., Winchester, J.A., and Piper, J.D.A.,(Ed.), *Tectonics and Magmatism in Turkey and the Surrounding Area*: Geological Society of London, Special Publication, v. 173, p. 1-23.
- 46- Szabo, F., and A. Kheradpir, 1978. Permian and Triassic Stratigraphy of Zagros Basin, Southwest Iran: *Journal of Petroleum Geology*, v. 12, p. 57-82.
- 47- Tucker, M.E., and V.P. Wright, 1990, Carbonate Sedimentology: Black well, London, 482 p.
- 47- Tucker, M.E., 1991, Sedimentary Petrography: Black Scientific Pub, 260 p.
- 48- Tucker, M. E., 1993, Carbonate Diagenesis and sequence stratigraphy. In: Wright , V.P., 33- Middleton, G.V., 1973, Johannes Walther's law of correlation of facies: *Bull Geological Society of America*, v. 84, (3), p. 979-988.
- 34- Palma , R.M., J. Lopez- Gomez, and R.D. Pieche, 2007, Oxfordian ramp system (La Manga formation) in the Bardas Blances area (Mendoza Provience) Neuquen sequences. Een Basin, Argentina: Facies and depositional *Sedimentary Geology*, p. 113-134.
- 35- Pillevuit, A., 1993, Les Blocs Exotiques du Sultanat d'Oman. Evolution paleogeographic d'une marge Memoires Geologie Lausanne, v. 17, 249p.
- 36- Rahimpour-Bonab H. 2007. A procedure for appraisal of a hydrocarbon reservoir continuity and quantification of its heterogeneity: *Journal of Petroleum Science and Engineering*, v. 58: p 1-12.
- 37- Rahimpour-Bonab, H., A. Asadi-Eskandar, and R. Sonie, 2009, Effects of the Permian-Triassic boundary on reservoir characteristics of the South Pars gas field, Persian Gulf: *Geological Journal*, v. 44, p 341-364.
- 38- Rahimpour-Bonab, H., B. Esrafili-Dizaji, and V. Tavakoli, 2010, Dolomitization and anhydrite precipitation in Permo-Triassic carbonates at the South Pars Gasfield, offshore Iran: Controls on reservoir quality: *Journal of Petroleum Geology*, v. 33, p. 1-24.
- 39-Read, J.F., 1985, Carbonate platform facies models: *AAPG Bulltein*, v. 66, p.860-878.
- 40- Rouchy, J.M., C. Pierre, and F. Sommer, 1994, Deep water resedimentation of anhydrite deposits in the Middle Miocene (Belayim Formation) of the Red Sea, Egypt: *Sedimentology*, v. 42, p. 267-28.

- (Ed), Sedimentary review/1, Blackwell. Scientific Publication, p. 51-72.
- 49- Warren, J.K., 2006, Evaporites: Sediments, Resources and Hydrocarbons: Espringer Berlin Heidel- berg New York, 1041 p.
- 50- Weidlich, O., and M. Bernecker, 2003, Supersequence and composite sequence carbonate platform growth: Permian and Triassic outcrop data of the Arabian platform and Neo-Tethys: Sedimentary geology, v. 158, p. 87-116.
- 51- Wetzel, A., 1991, Ecologic interpretation of deep- sea fossil communites: Paleontology. Paleoclimato. Paleocolo., v. 8, p. 47-69.
- 52- Wilson, J.L., 1975, Carbonate facies in Geologic History , Springer_Verlag, New York, 471 p.
- 53- Zeigler , M.a., 2001, Late Permian to Holocene paleofacies evolution of the Arabian Plate and its hydrocarbone occuravces: GeoArabia, v. 6, p. 445-504.